

## مقدمات مکانیک کوانتومی

در این فصل می‌خواهیم برای کسانی که هیچ نوع آشنایی قبلی با مکانیک کوانتومی ندارند، اصول و ساختمان این نظریه را توضیح دهیم. دانشجویان فیزیک می‌توانند قسمت‌های اولیه این فصل را رها کرده و تنها قسمت پایانی آن یعنی بحث مربوط به حالت‌های مخلوط را مطالعه کنند. روش ما در این فصل نه یک روش تاریخی است و نه یک روش اصل موضوعی. سعی می‌کنیم که مجموعه مشاهدات مربوط به دنیای میکروسکوپی را خلاصه کنیم و بگوییم که چگونه برای توضیح این مجموعه نتایج اصول اساسی و ساختمان مکانیک کوانتومی ساخته می‌شود.

### ۱ مقدمه ای درباره مشاهده و اندازه گیری

نخستین کاری که برای شناختن یک شی انجام می‌دهیم آن است که سعی می‌کنیم خاصیت‌های معینی از آن را مثل رنگ، اندازه، جرم، سرعت یا تکانه، بارالکتریکی و نظایر آن را اندازه بگیریم. بعضی از این خصوصیات بطور مستقیم و بعضی از آنها با واسطه‌های تجربی و نظری مشخص می‌شوند. به عنوان مثال برای اندازه‌گیری برای اندازه‌گیری سرعت باریکه‌ای از ذرات باردار می‌توانیم آنها را از دو میدان مغناطیسی و الکتریکی عمود برهم بگذرانیم. در این دستگاه اندازه‌گیری اندازه میدان الکتریکی و مغناطیسی را چنان تغییر می‌دهیم که مسیر باریکه ذرات هیچ انحرافی حاصل نکند. در این صورت با استفاده از قوانین الکترومغناطیس و با اعتماد به این قوانین که در مجموعه وسیعی از پدیده‌ها و مشاهدات متقابل به صحت آنها مطمئن شده‌ایم سرعت ذرات را به صورت رابطه  $v = \frac{E}{B}$  «استنتاج» می‌کنیم. طبیعی است که در اینجا اندازه‌گیری سرعت کاملاً به صورت غیر مستقیم و با اتکاء بر یک چارچوب نظری بدست آمده است. در همین آزمایش می‌توانیم سرعت ذرات دیگری که انحراف‌های دیگری پیدا می‌کنند نیز پیدا کنیم. بنابراین، این دستگاه، یک نوع اندازه‌گیری است که ذرات را برحسب سرعت آنها از یکدیگر «جدا» می‌کند.

می‌توانیم با خاموش کردن میدان مغناطیسی تنها به انحراف ذرات تحت میدان الکتریکی توجه کنیم. در این صورت باز هم با اتکا به صحت قوانین الکترومغناطیس می‌توانیم نسبت بارالکتریکی به جرم ذرات یعنی  $\frac{q}{m}$  را تعیین کنیم یا به عبارت دیگر این دستگاه اندازه‌گیری ذرات را برحسب نسبت جرم به بار آنها از یکدیگر جدا می‌کند.

یک مثال دیگر: در یک اتاقک ابر ذرات شتابدار در مسیر حرکت خود بخار اشباع شده را تبدیل به مایع می‌کنند و رشته‌ای از قطرات مایع در مسیر خود به جا می‌گذرانند. از آنجا که در این اتاقک ابر یک میدان مغناطیسی نیز وجود دارد می‌توان با استفاده از جهت انحنای مسیر ذرات علامت بار آنها را تشخیص داد. بنابراین، این دستگاه ذرات را برحسب علامت بارالکتریکی آنها از هم «جدا» می‌کند. می‌توان با استفاده از ضخامت مسیر ایجاد شده که نشانگر قطرات آب ایجاد شده در مسیر حرکت ذره است و هم چنین شعاع انحنای مسیر حرکت هم انرژی و هم بارالکتریکی ذرات را نیز تعیین کرد.

به یک مثال دیگر توجه کنیم. هرگاه یک توری پراش درمسیر یک پرتو نور قرارگیرد روی پرده ای که در پشت توری پراش قرار دارد رشته ای خطوط بسیار باریک بایک نظم مشخص پدیدار خواهد شد. بنابر «نظریه موجی نور» این خطوط ناشی از تداخل سازنده امواج نور با طول موج های معین در راستاهای معین است. بنابراین و با اتکاء بر نظریه موجی نور یک توری پراش به عنوان دستگاهی عمل می کند که پرتوهای نور را برحسب طول موج آنها از یکدیگر « جدا » می کند. به عنوان آخرین مثال دستگاه اشترن - گراخ را در نظر می گیریم که بخش عمده آن را یک میدان مغناطیسی متغیر در راستای معین تشکیل می دهد. ذراتی که به این دستگاه می تابند تحت تاثیر میدان مغناطیسی متغیر قرار می گیرند و منحرف می شوند. با تکیه بر رابطه  $F = -\nabla(\mu \cdot B) = -\mu \cdot \nabla(B)$  ، و با اندازه گیری مقدار انحراف می توانیم به ذرات یک ممان مغناطیسی  $\mu$  نسبت دهیم.

از مجموعه مثال های بالا دو نتیجه می توان گرفت. اول آنکه هر نوع اندازه گیری در واقع یک فرآیند است که طی آن یک دستگاه ماکروسکوپی ذرات را برحسب یک خاصیت معین از یکدیگر جدا می کند. ثانیاً هر نوع اندازه گیری و تفسیر نتایج آن متکی بر یک نظریه است که بدون آن نظریه نمی توان به نتایج آن اندازه گیری معنا و مفهومی نسبت داد.

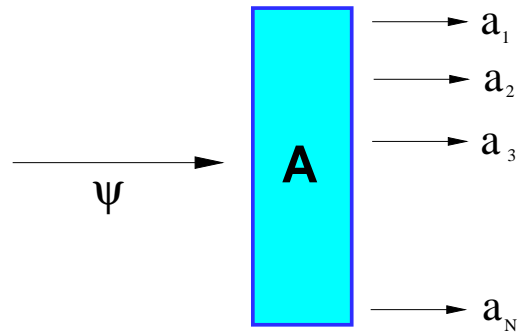
این امر در مورد اندازه گیری های بسیار معمولی نظیر وزن کردن یک جسم با ترازوی دو کفه ای نیز صدق می کند. در این جا نظریه ای که به کار برده شده است متناسب بودن جرم با وزن از یک طرف و تعادل نیرو و گشتاور از طرف دیگر بوده است. جدا کردن نیز در اینجا با دست و توسط انسان انجام می شود. اما در مورد اخیر این دو خصلت بدلیل دم دستی بودنشان توجه چندانی جلب نمی کنند. در این مورد آنچه را که به واسطه نظریه اندازه می گیریم بقدری به ادراک حسی و بی واسطه ما از سنگینی و سبکی نزدیک است که ما اغلب وجود واسطه نظری را در این گونه اندازه گیری ها نادیده می گیریم. اما هر چه که اشیای مورد مطالعه ما خرد تر می شوند و از دسترس تجربه مستقیم ما دورتر می شوند واسطه های نظری هم از نظر تعداد و هم از نظر پیچیدگی بیشتر می شوند تا جاییکه دیگر بزحمت می توان گفت آیا آنچه که ما اندازه می گیریم واقعاً همان چیزی است که اگر با حواس خود مستقیماً می توانستیم اندازه بگیریم، بدست می آوردیم. در بعضی از موارد می توانیم با زحمت نسبتاً کمی از صحت روش های اندازه گیری خود مطمئن شویم. به عنوان مثال می توانیم جرم یک اتم را با همان روش های غیر مستقیمی که در بالا به آن اشاره کردیم اندازه بگیریم. حالا می توانیم تعداد خیلی خیلی زیادی از این اتم ها (مثلاً یک مول از آنها) را که به طریقی (باز هم با واسطه) از تعداد آنها مطمئن شده ایم در یک کفه ترازو قرار دهیم و با روش های حسی معمولی وزن آن را اندازه بگیریم تا ببینیم که با تجربیات حسی ما واقعا مطابق است یا نه که خوشبختانه جواب مثبت است. آیا در دنیای میکروسکوپی اندازه گیری خصلت های ویژه ای علاوه بر آنچه که در بالا گفته شد دارد؟ در این بخش می خواهیم به این سوال پاسخ دهیم.

در دنیای ماکروسکوپی بعضی از خواص اشیاء هر نوع مقداری می توانند اتحاد کنند مثل جرم، اندازه و تکانه و نظایر آن. بعضی از خواص دیگر تنها مقادیر گسسته ای را به خود می گیرند مثل تعداد، یا امتداد قطبش نور. بنابراین گسسته بودن یا پیوسته بودن به خودی خود یک خاصیت منحصر بفرد میکروسکوپی نیست. آنچه که ویژگی منحصر به فرد دنیای میکروسکوپی است چیست؟

## ۲ معنای حالت

دردنیای ماکروسکوپی می توانیم خصوصیات گوناگونی از یک شی را یکی پس از دیگری تعیین کنیم و اگر این اندازه گیری ها را پشت سرهم وبدون فاصله زمانی انجام دهیم مطمئن هستیم که شی مورد مطالعه خواص تعیین و تثبیت شده قبلی خود را حفظ می کند. وقتی که از یک جعبه سیب نخست سیب های درشت و سپس سیب های سبز را جدا می کنیم مطمئن هستیم که در پایان سیب های درشت سبز در دست داریم. بنابراین رنگ و اندازه خصلت هایی هستند که به طور توامان می توانند تعیین شوند. ممکن است بگوییم که ویژگی منحصر به فرد دنیای میکروسکوپی آن است که خصلت هایی وجود دارند که نمی توان آنها را به صورت توامان تعیین کرد. اما این نتیجه گیری کمی عجولانه است؟ زیرا دردنیای ماکروسکوپی نیز چنین خصلت هایی وجود دارند. برای مثال به قطبش نور توجه می کنیم. نخست به «تعریفی» که از قطبش نور می کنیم باید توجه کنیم. کاری که می کنیم آن است که یک پولاروید در مسیر باریکه نور قرار می دهیم و و ضمن تغییر دادن جهت پلاروید شدت نور خروجی را ثبت می کنیم. جهتی که در آن بیشترین شدت نور خروجی را ثبت می کنیم جهت قطبش نور نام دارد. بنابراین با یک پلاروید  $x$  (یعنی پلارویدی که جهت آن منطبق با محور  $x$  است) ما می توانیم نورهای قطبیده در راستای  $x$  را جدا کنیم (درست مثل جدا کردن سیب های سبز).. دقت کنید که این اندازه گیری محتاج دانستن هیچ چیزی راجع به ساختمان پلاروید و یا یک مدل نظری راجع به نور نیست. حال می توان نور خروجی از پلاروید اول را از یک پلاروید دیگر مثلاً در راستای  $n = \frac{1}{\sqrt{2}}(x+z)$  عبور داد. همان منطق اندازه گیری و جداسازی که در بالا از آن استفاده کردیم به ما خواهد گفت که نور خارج شده از این دستگاه قطبش یا خاصیت  $n$  دارد. بنابراین به نظر می رسد که نور خروجی از دو پلاروید پشت سرهم هم خاصیت  $x$  دارد و هم خاصیت  $n$  دارد. ولی در عمل می بینیم که چنین نیست. زیرا هرگاه باریکه نور نهایی را از یک پلاروید  $x$  عبور دهیم شدت نور ماکزیمم مقدار خود را نخواهد داشت. در اینجا ما با دو خاصیت ناسازگار سروکار داریم و نمی توانیم هر دو آنها را توامان تعیین کنیم. می توانیم باریکه نوری که از پلاروید  $x$  خارج می شود را نوری در حالت  $|x\rangle$  بنامیم و باریکه نوری که از پلاروید  $n$  خارج می شود را نوری در حالت  $|n\rangle$  بنامیم ولی نمی توانیم نوری در حالت  $|x, n\rangle$  تهیه یا تصور کنیم. این مثال به مان نشان می دهد که خاصیت های ناسازگار نیز یک ویژگی منحصر به فرد دنیای میکروسکوپی و کوانتومی نیست. جستجوی خود را برای پیدا کردن وجه تمایز اساسی دنیای میکروسکوپی و ماکروسکوپی ادامه می دهیم. اما قبل از آن بهتر است آنچه را که تاکنون فهمیده ایم مرتب و منظم کنیم. یک دستگاه اندازه گیری  $A$  ذرات را بر حسب خاصیتی از آنها که توسط این دستگاه و معمولاً ولی نه الزماً با توجه به یک مدل نظری تعریف می شود از یکدیگر جدا می کند. برای سادگی می توان فرض کرد که این دستگاه خروجی هایی دارد که برچسب خورده اند. به عنوان مثال ذراتی که از خروجی  $i$  بیرون می آیند اندازه آنها از خاصیت  $A$  برابر با مقدار حقیقی  $a_i$  است. می توانیم بگوییم که چنین ذراتی اکنون در حالت  $|a_i\rangle$  قرار دارند، شکل (۱).

برای تعیین کامل حالت ذرات می بایست تمام خاصیت های سازگار باهم آنها را تعیین کرد ولی برای سادگی روابط بعدی ما فرض می کنیم که ذرات فقط با یک خاصیت معین می شوند. بنابراین می توانیم تصور کنیم که ذرات در یکی از حالت های  $\{|a_1\rangle, |a_2\rangle, \dots, |a_N\rangle\}$  (اگر بلافاصله از دستگاه اندازه گیری  $A$  بیرون آمده اند) قرار دارند و یا در یکی از حالت های  $\{|b_1\rangle, |b_2\rangle, \dots, |b_N\rangle\}$  قرار دارند (اگر بلافاصله از دستگاه اندازه گیری  $B$  بیرون آمده اند) و نظایر آن. آزمایشگر می تواند در آزمایشگاه ذرات در حالت  $|b\rangle$  را از دستگاه  $A$  عبور دهد. در این جا اولین وجه افتراق دنیای کوانتومی خود را آشکار می سازد و آن این است که با وجودی که تمامی شرایط آزمایش یکسان است و تمام دقت های لازم اعمال شده است نتیجه این اندازه گیری



شکل ۱: دستگاه اندازه گیری  $A$  ذرات را به حالت های مختلف  $|a_1\rangle$  تا  $|a_N\rangle$  تجزیه می کند. حالت  $|\psi\rangle$  یک حالت ناشناخته است.

هربار یک چیز است. یعنی ذره در حالت  $|b\rangle$  کاملاً به طور تصادفی خود را در حالت های  $|a_1\rangle$  تا  $|a_N\rangle$  نشان خواهد داد. ممکن است که این تصادفی بودن نتیجه متغیرهای بازهم خردتری باشد که دسترسی به آنها و یکسان کردن آنها هنگام تکرار آزمایش فعلی ما مقدور نباشد. این فرض را فعلی‌تمی توان آزمود و در غیاب آن تنها کاری که می توان کرد آن است که در آزمایشگاه احتمالات گذار را که تعیینی و تکراری پذیر هستند تعیین کرد. بنابراین مرحله دوم آن است که می توان جداولی از همه احتمالات گذار برای خصوصیات مختلف تعیین کرد. از این به بعد احتمال گذار حالت  $|a\rangle$  به  $|b\rangle$  را با

$$P(b, a) \quad (1)$$

نشان می دهیم. واضح است که شرط زیر برآورده می شود:

$$\sum_{j=1}^N P(b_j, a) = 1. \quad (2)$$

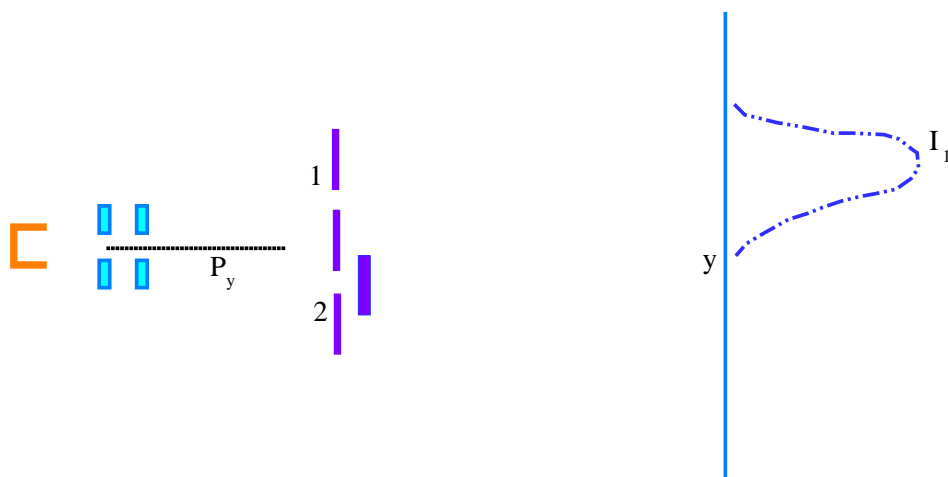
این هم یک نتیجه آزمایشی است که بین احتمالات تقارن وجود دارد یعنی اینکه :

$$P(a_i, b_j) = P(b_j, a_i). \quad (3)$$

هم چنین رابطه زیر ناشی از آزمایش است:

$$P(a_j, a_i) = \delta_{ij} \quad (4)$$

این رابطه به این معناست که تعریف حالت به شکلی که در بالا انجام شد معنا دارد یعنی ذره ای که در یک آزمایش  $A$  در حالت  $a_i$  جدا شده است اگر دوباره تحت همان آزمایش قرارگیرد (البته بدون اینکه زمان بر آن بگذرد) بازهم همان خصیلت  $a_i$  را از خود نشان خواهد داد.



شکل ۲: آزمایش دو شکاف : تنها شکاف بالایی باز است و طرح  $I_1$  روی پرده مشاهده می شود.

### ۳ تداخل

حال به مهمتری خصلت دنیای میکروسکوپی می رسمیم. در شکل (۲) در سمت چپ یک فیلامان حرارتی وجود دارد که بخاری از ذرات باریونیزه را از خود متصاعد می کند. میدان های الکتریکی به همراه مجموعه ای از یکسوکننده ها ذرات در حالت  $|P_y\rangle$  را جدا می کنند. شکاف پایینی مسدود شده است. هر ذره که از شکاف بالایی بگذرد در حالت  $|1\rangle$  قرار می گیرد و سپس روی پرده در حالت  $|y\rangle$  که نقطه نشستن آن روی پرده را (توسط یک آشکارساز) نشان می دهد ثبت می شود. هرگاه این آزمایش را برای مدت طولانی انجام دهیم در اثر نشستن ذرات روی یک پرده مثلاً یک پرده فلئوئورسانس یک طرح  $I_1$  بوجود خواهد آمد.  $I_1(y)$  در واقع متناسب با تعداد ذرات نشسته شده روی نقطه  $y$  است. در حقیقت داریم :

$$I_1(y) = P(y, 1)P(1, P_y). \quad (5)$$

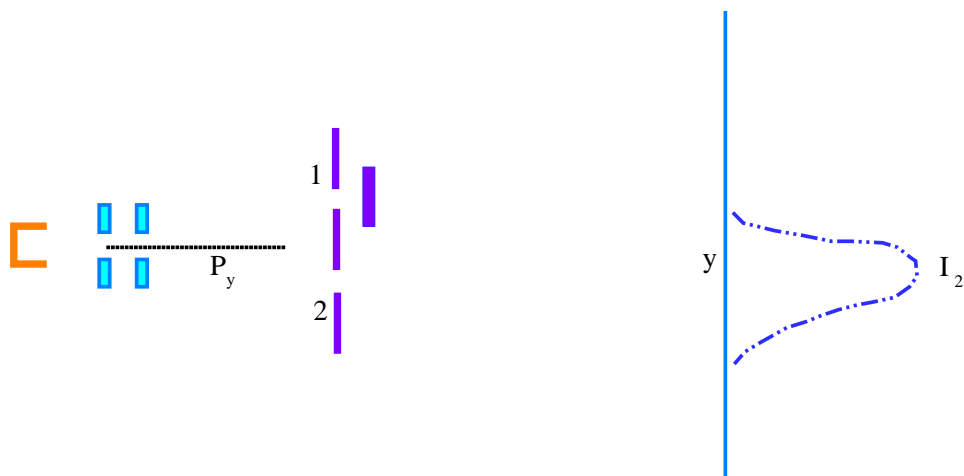
در این رابطه  $P(1, P_y)$  احتمال آن است که ذره ای که در حالت  $|P_y\rangle$  است، از درون شکاف 1 بگذرد و در حالت  $|1\rangle$  قرار گیرد. هم چنین  $P(y, 1)$  احتمال آن است که ذره ای در حالت  $|1\rangle$  است و از شکاف 1 گذشته است در نقطه  $y$  بنشیند یعنی در حالت  $|y\rangle$  قرار بگیرد. ضرب احتمال ها نیز یک ضرورت منطقی است که ما از رفتار اشیاء در دنیای پیرامون خود فرا گرفته ایم. شکل (۳) همان آزمایش را نشان می دهد

با این تفاوت که این بار شکاف بالایی بسته است. به همان معنای رابطه پیشین این بار داریم :

$$I_2(y) \equiv P(y, 2, P_y) = P(y, 2)P(2, P_y). \quad (6)$$

شکل (۴) همان آزمایش را نشان می دهد با این تفاوت که این بار هر دو شکاف باز هستند. انتظار داریم که این بار رابطه زیر برقرار باشد:

$$I_{1+2}(y) = P(y, 1)P(1, P_y) + P(y, 2)P(2, P_y) = I_1(y) + I_2(y). \quad (7)$$



شکل ۳: آزمایش دو شکاف : تنها شکاف پایینی باز است و طرح  $I_2$  روی پرده مشاهده می شود.

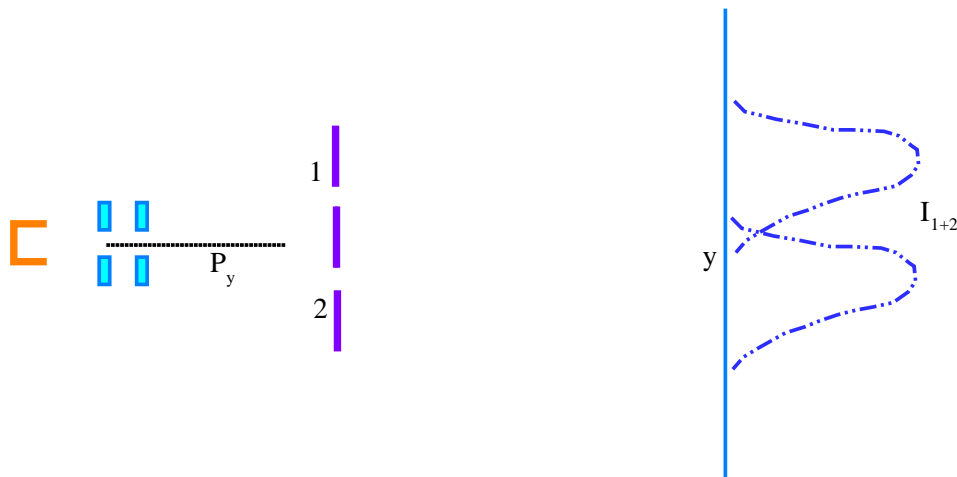
اما آنچه که در آزمایش می بینیم آن است که ذرات مطابق با طرح  $I_{12}$  که یک طرح تداخلی است روی پرده می نشینند. در این طرح چندین نکته جالب و شگفت انگیز وجود دارد:

الف : در جاهایی از پرده باز کردن هردو شکاف باهم باعث شده است که تعداد حتی کمتری ذرات نسبت به وقتی که تنها یک شکاف باز بود به آن نقطه برسد. در جاهایی نیز مثل وسط پرده تعداد ذرات دوبرابر آن مجموع تعداد ذراتی است که در صورت باز بودن هر کدام از شکاف ها به تنهایی به پرده می رسید.

ب : برعکس در جاهای دیگری از ذرات باز کردن هردو شکاف باعث شده است که تعداد ذراتی که به آن نقطه می رسد بیشتر از مجموع ذراتی شود که در صورتی که هردو شکاف باز می بود به آن نقطه می رسید.

ج : شکل این طرح تداخلی با رقیق کردن چشمه ذرات بطوریکه در هر آن فقط و فقط یکی از ذرات از شکاف ها عبور کند، تغییر نمی کند. بنابراین نمی توان گفت که ذرات هنگام باز بودن هردو شکاف بایکدیگر طوری برهم کنش می کنند که اثرات بالا دیده شود.

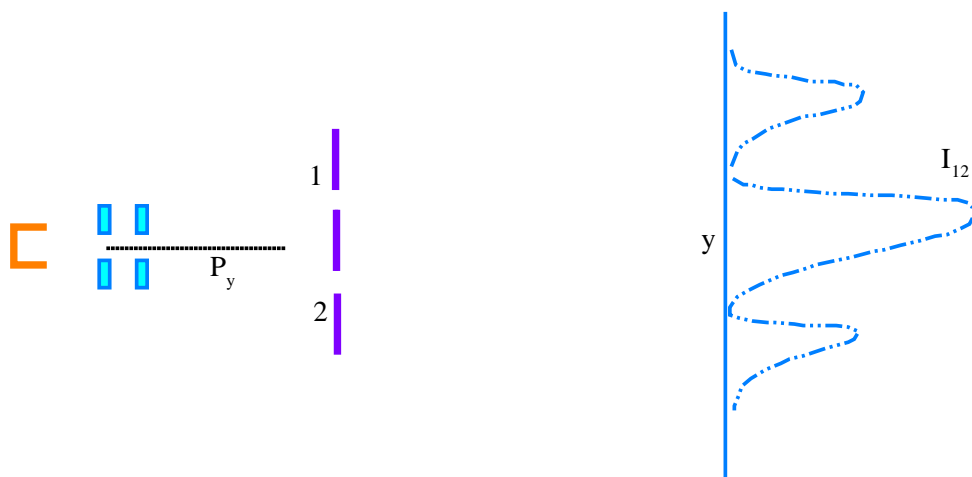
د : هر کدام از ذرات را روی پرده نهایی به طور کامل توسط آشکارساز ثبت می کنیم و آشکارساز ما ماهیت ذره ای آن را بخوبی تایید می کند. بنابراین نمی توان گفت که ذره در این آزمایش مثل یک موجود پیوستار عمل کرده است و بخشی از آن از یک شکاف و بخشی دیگر از یک شکاف دیگر عبور کرده است.



شکل ۴: آزمایش دو شکاف : هر دو شکاف باز هستند . طرح روی پرده یعنی طرح  $I_{1+2}$  طرح ای است که انتظار داریم ببینیم.

هنر البته می توان در گزاره (د) شک کرد. ممکن است که ذره در حین عبور از دو شکاف به صورت یک پیوستار (چیزی شبیه یک ابر) رفتار می کند و سپس در انتها موقع نشستن روی پرده تمامی این ابر دوباره به صورت یک ذره کوچک متمرکز می شود. برای پی بردن به راز رفتار ذره می توان درست پشت شکاف ها آشکارسازهایی گذاشت تا بفهمیم که ذره درست موقع عبور از شکاف ها چگونه رفتار می کند. اگر چنین کاری بکنیم متوجه می شویم که در آنجا هم ذره به صورت یک ابر یا زله یا چیزی شبیه به آن رفتار نمی کند بلکه به تمامی (باتمام جرم و بار و دیگر خصوصیات خود) در آشکارساز ثبت می شود. ولی در این جا متوجه یک اتفاق مهم می شویم و آن این است که تلاش ما برای پی بردن به راز رفتار ذره باعث شده است که طرح تداخلی  $I_{12}$  از بین رفته است و جای خود را به طرح معمولی  $I_{1+2}$  داده است. ظاهراً ذره از تلاشی که برای پی بردن به رفتار اسرار آمیزش انجام داده ایم عصبانی شده است و دیگر آن کار شگفت انگیز را نمی کند.

و : حال که ذره تن به مشاهده ظریف خود رانمی دهد ما می توانیم به منطق ساده روی آوریم . بالاخره هر ذره ای که روی پرده می نشیند یا از شکاف ۱ آمده است یا از شکاف ۲. تعداد ذراتی که روی پرده نشسته اند برابرند با تعداد ذراتی که از شکاف ۱ آمده اند + تعداد ذراتی که از شکاف ۲ آمده اند. اما تعداد ذراتی که از شکاف ۱ عبور کرده و روی پرده نشسته اند برابر است با  $I_1$  و تعداد ذراتی که از شکاف ۲ عبور کرده و روی پرده نشسته اند برابر است با  $I_2$ . پس حتی بدون مشاهده نزدیکی شکاف ها می توانیم حکم کنیم که طرحی که سرنجام روی پرده ثبت می شود می بایست برابر با  $I_1 + I_2$  باشد. در صورتی که اتم ها درست مثل اشیایی که ما با آنها آشنا هستیم مثل توپ فوتبالی عمل کرده باشند استدلال بالا صحیح است. بالاخره هر اتم یا از شکاف بالایی عبور کرده و به پرده رسیده است و یا از شکاف پایینی و می بایست طرح مشاهده شده همان طرح بدون تداخل یعنی طرح  $I_{1+2}$  باشد. در حال حاضر ما نمی توانیم بفهمیم که الکترون ها یا ذرات میکروسکوپی دیگر چرا چنین رفتاری از خود بروز می دهند. مسئله حتی از این هم بدتر است. مانه تنها نمی توانیم چرایی رفتار الکترون ها را توضیح دهیم حتی چگونگی



شکل ۵: آزمایش دوشکاف : هر دوشکاف باز هستند . طرح روی پرده یعنی طرح  $I_{12}$  طرح ای است که واقعاً روی پرده می بینیم.

رفتار آن را بهتر از این نمی توانیم توضیح دهیم. در مقابل ایراداتی از این نوع که «بالاخره الکترون یا از این شکاف عبور می کند و یا از آن شکاف و در این صورت نمی بایست طرح تداخلی داشته باشیم» تنها می توانیم به این بسنده کنیم که بگوییم وقتی سوال عبور الکترون از شکاف ها را به صورت عملی و تجربی می خواهیم بررسی می بینیم که طرح تداخلی واقعاً از بین می رود و ما به تناقضی بر نمی خوریم! بنابراین می گوییم که وقتی الکترون را مشاهده نمی کنیم نمی توانیم مسیری برای آن تعریف و حتی معنا کنیم و هرگاه هم که بخواهیم از نظر تجربی مسیر آن را تعیین کنیم اگرچه عمل ما قرین موفقیت است اما الکترون دیگر آن کارشگفت انگیزی را که در غیاب مشاهده انجام می داد انجام نمی دهد و کاملاً سربه زیر می شود. دستگاه شگفت انگیز مکانیک کوانتومی از این نقطه آغاز می شود که ما کاری به اینکه در حین یک فرایند دقیقاً چه اتفاقی می افتد و این که این اتفاقات با شهود ما سازگارند یا نه نداریم بلکه تنها به آغاز و انجام یک فرایند کار داریم و تنها مجموعه احتمالات گذار از حالات اولیه به حالات نهایی را در آزمایشگاه تعیین می کنیم و سعی می کنیم با یک دستگاه نظری خود سازگار این احتمالات وقوع را به یکدیگر پیوند داده و در نتیجه بعضی از آنها را از روی بعضی دیگر پیش بینی کنیم. پیش بینی دقیق احتمالات وقوع فرآیند ها نشان دهنده موفقیت دستگاه نظری مکانیک کوانتومی است و این موفقیت اگر با این ملاک سنجیده شود در طول یکصد سال گذشته بسیار عظیم بوده است. اما ما همچنان حق داریم که از خود پرسیم آیا مکانیک کوانتومی ما را قادر می کند که دنیای میکروسکوپی را بفهمیم یا خیر. این سوال بازی است که دانشجویان علاقمند می توانند سالها خود به جستجوی پاسخ آن پردازند. اما ما در ادامه این درس به همان توصیف رایج در چارچوب مکانیک کوانتومی خواهیم پرداخت.

بنابراین نخستین کار ما آن است که ببینیم آیا نظمی در طرح تداخلی شکل (۵) وجود دارد یا نه. به نظری رسد که طرح  $I_{12}$  یک طرح ناشی از تداخل امواج باشد. بنابراین برای پیدا کردن نظمی که در جستجوی آن هستیم به تجربیات خود در مورد امواج بازمی گردیم. اگر  $I_1$  را مربع یک عدد مختلط  $\phi_1$  موسوم به دامنه احتمال و  $I_2$  را نیز مربع یک عدد مختلط  $\phi_2$  بگیریم چه بسا که  $I_{12}$  مربع  $\phi_1 + \phi_2$  باشد چنان که در مورد امواج چنین است: یعنی

$$I_1 = |\phi_1|^2, \quad I_2 = |\phi_2|^2, \quad I_{12} = |\phi_{12}|^2 \quad (8)$$



که در آن

$$\phi_{12} = \phi_1 + \phi_2. \quad (9)$$

تا اینجا این فرض می تواند رفتار عجیب ذرات را که در بند الف به آن اشاره کردیم توضیح دهد زیرا:

$$I_{12} = I_1 + I_2 + \phi_1^* \phi_2 + \phi_2^* \phi_1, \quad (10)$$

وجملات سوم و چهارم که به جملات تداخلی موسوم هستند می توانند هم چنان که در مورد امواج معمولی دلیل کاهش و یا افزایش تعداد ذرات را در جاهای مختلف پرده توضیح دهند.

اما اعداد مختلط  $\phi_1$  یا  $\phi_2$  چه هستند؟ به یاد می آوریم که مطابق با آنچه که در بالا گفتیم قرار است ما سوالی درباره چگونگی طی کردن یک فرایند نپرسیم و تنها به ابتدا و انتهای فرآیند بپردازیم. بنابراین  $\phi_{12}$  دامنه احتمالی است که یک حالت اولیه یعنی  $|P_y\rangle$  را به یک حالت نهایی یعنی  $|y\rangle$  ربط می دهد. بنابراین فعلاً می نویسیم

$$\phi_{12} = \langle y | P_y \rangle \quad (11)$$

بدون اینکه از نماد گذاری فوق هیچ چیزی نظیر ضرب داخلی بردارها و یا چیزی شبیه به آن را در ذهن داشته باشیم. اما  $\phi_1$  دامنه احتمال دو فرایند متوالی است که در آن ذره از حالت  $|P_y\rangle$  به حالت  $|1\rangle$  و سپس از حالت  $|1\rangle$  به حالت  $|y\rangle$  تحول پیدا کرده است. با توجه به اینکه در فرآیند های متوالی خود احتمالات نیز در هم ضرب می شوند می توانیم فرض کنیم که دامنه های احتمال نیز در هم ضرب می شوند. در نتیجه قرار می دهیم:

$$\phi_1 = \langle y | 1 \rangle \langle 1 | P_y \rangle \quad \phi_2 = \langle y | 2 \rangle \langle 2 | P_y \rangle \quad (12)$$

که باز هم تاکید می کنیم که در حال حاضر این تنها یک نماد گذاری است که شبیه ضرب داخلی است ولی هیچ نوع بستگی منطقی با آن ندارد. با کنار قرار دادن همه این استدلال ها و فرض ها می توانیم نهایتاً رابطه زیر را برای توصیف طرح آزمایش دوشکاف بنویسیم:

$$\langle y | P_y \rangle = \langle y | 1 \rangle \langle 1 | P_y \rangle + \langle y | 2 \rangle \langle 2 | P_y \rangle \quad (13)$$

این رابطه رابطه اصلی ای است که بسیاری از ساختمان نظری مکانیک کوانتومی بر اساس آن بیان می شود. می توان شکل کلی آن را به صورت زیر نوشت:

$$c_k |a_i\rangle = \sum_j c_k |b_j\rangle \langle b_j | a_i \rangle. \quad (14)$$

آنچه که در آزمایشگاه قابل حصول است آن است که می توانیم با انجام آزمایش های گوناگون روی یک حالت احتمال گذار آن حالت را به حالت های دیگر اندازه گیری کنیم. به عنوان مثال روی حالت  $|\psi\rangle$  می توانیم با انجام آزمایش  $A$  احتمالات گذار به حالت های  $|a_i\rangle$  را تعیین کنیم. می توانیم این دامنه ها را در یک آرایه ستونی مطابق شکل زیر مرتب کنیم و اسم این آرایه را  $|\psi\rangle_A$  بگذاریم که شاخص  $A$  برای یادآوری آن است که اعداد داخل این آرایه از اندازه گیری های  $A$  بدست آمده اند:

$$|\psi\rangle_A = \begin{pmatrix} \langle a_1|\psi\rangle \\ \langle a_2|\psi\rangle \\ \vdots \\ \langle a_N|\psi\rangle \end{pmatrix} \quad (15)$$

با انجام مشاهدات دیگر آزمایشگر می تواند به همین ترتیب مجموعه ای از آرایه ها مثل  $|\psi\rangle_B$ ،  $|\psi\rangle_C$  و نظایر آن را تعیین کند. حال سوال این است که این آرایه ها چه ربطی به هم دارند؟ نخست باید به این اشاره کنیم که مشاهدات تجربی نشان می دهد که دامنه گذار یک حالت  $|a_i\rangle$  به حالت متفاوت دیگر برابر با صفر است (البته اگر این اندازه گیری را بلافاصله انجام دهیم که فرض ما هم همین است.) بنابراین خواهیم داشت:

$$|a_1\rangle_A = \begin{pmatrix} 1 \\ 0 \\ \vdots \\ 0 \end{pmatrix} \quad |a_2\rangle_A = \begin{pmatrix} 0 \\ 1 \\ \vdots \\ 0 \end{pmatrix} \quad \dots \quad |a_N\rangle_A = \begin{pmatrix} 0 \\ 0 \\ \vdots \\ 1 \end{pmatrix}. \quad (16)$$

یادآوری این نکته لازم است که آزمایشگر می بایست با مجموعه ای از آزمایشهای به هم مرتبط دامنه ها را پیدا کند زیرا دانستن مربع یک عدد مختلط تنها اندازه آن عدد را بدست خواهد داد و نه فاز آن را. نمونه ای از این آزمایشها را در ادامه خواهیم دید.

آیا آزمایشگر می بایست بصورت منفعل تنها به جمع آوری این آرایه ها بپردازد و باینکه می تواند خود قدرت پیشگویی پیدا کند. این سوالی است که در بخش آینده به آن پاسخ خواهیم گفت.

## ۴ بردارهای حالت

اگر در این لحظه به رابطه (14) توجه کنیم و آن را به شکل زیر بازنویسی کنیم

$$\langle b_j|\psi\rangle = \sum_i \langle b_j|a_i\rangle \langle a_i|\psi\rangle, \quad (17)$$

متوجه شباهت تام و تمام رابطه درایه ها در آرایه های  $|\psi\rangle_A$  و  $|\psi\rangle_B$  با مولفه های یک بردار می شویم. درست مثل این است که آرایه  $N$  بعدی  $|\psi\rangle_A$  مولفه های یک بردار را در یک پایه که آن را برای سادگی پایه  $A$  می نامیم و آرایه  $N$  بعدی  $|\psi\rangle_B$  مولفه های همان بردار را در پایه  $B$  نشان می دهند. در نتیجه می توانیم شاخص  $A, B, \dots$  را از  $|\psi\rangle$  حذف کنیم و بگوییم که حالت یک ذره توسط یک بردار  $|\psi\rangle$  تعیین می شود و اندازه گیری آن ذره توسط آزمایش  $A$  درحقیقت دامنه های گذار آن حالت به حالت

های مختلف  $\langle a_i | \psi \rangle$  را به عنوان مولفه های مختلف آن بردار دریک پایه بدست می دهد. دراین جا می بایست به یک نکته مهم اشاره کنیم و آن این است که هرگاه تمام دامنه های  $\langle a_i | \psi \rangle$  را دریک فاز ضرب کنیم هیچ تغییری دراحتمالات  $P(a_i, \psi)$  بوجود نخواهد آمد بنابراین با آزمایش  $A$  نمی توان به این پی برد که آیا فازی دردامنه ها ضرب شده است یا نه. حال نکته مهم این است که بنابر رابطه (14) همان فاز درتمام دامنه های دیگر یعنی  $\langle b_i | \psi \rangle$  نیز ضرب خواهد شد و بنابراین با هیچ آزمایش فیزیکی نمی توان ضرب شدن فاز را تشخیص داد. درنتیجه این آرایه ها را همواره می توان دریک فازکلی ضرب کرد بدون اینکه اثری به بارآورد.

هم چنین باقبول رابطه (17) به عنوان رابطه ای بین مولفه های یک بردار درپایه های مختلف می توانیم از این به بعد به دامنه احتمال  $\langle b | a \rangle$  به عنوان ضرب داخلی دو بردار یا همان براکت  $\langle b | a \rangle$  نگاه کنیم. ضمناً از تقارن  $P(a, b) = P(b, a)$  بدست می آوریم که:

$$\langle a | b \rangle = \langle b | a \rangle^* \quad (18)$$

علاوه برآن بدلیل رابطه (4) فرض می کنیم که درهرپایه ای

$$\langle a_i | a_j \rangle = \delta_{ij} \quad (19)$$

البته این رابطه ساده ترین فرضی است که می توان درمورد رابطه دو دامنه احتمال درنظرگرفت.

## ۵ عملگرها

تا کنون یادگرفته ایم که وقتی ذره درحالت  $|\psi\rangle$  است اندازه گیری خصلت  $A$  مقادیر  $a_i$  را با احتمال  $|\langle a_i | \psi \rangle|^2$  تولید می کند. حال می توانیم مقدار متوسطی را که پس از چند باراندازه گیری بدست می آید حساب کنیم. این مقدار را که با  $\langle A \rangle_\psi$  نشان می دهیم برابر است با:

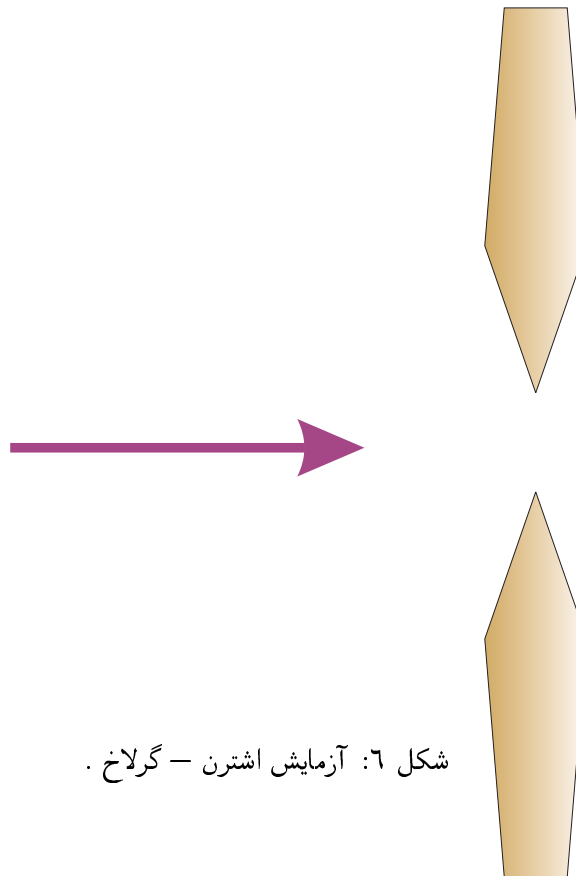
$$\langle A \rangle_\psi = \sum_{i=1}^N a_i |\langle a_i | \psi \rangle|^2 = \sum_{i=1}^N a_i \langle \psi | a_i \rangle \langle a_i | \psi \rangle = \langle \psi | \hat{A} | \psi \rangle \quad (20)$$

که درآن  $\hat{A}$  عملگری است که به این اندازه گیری نسبت داده شده است و به شکل زیراست:

$$\hat{A} = \sum_{i=1}^N a_i |a_i\rangle \langle a_i| \quad (21)$$

مسلم است که این عملگردرپایه خودش یعنی پایه  $A$  قطری است و شکل زیر را دارد:

$$\hat{A}_A = \begin{pmatrix} a_1 & \cdot & \cdot & \cdot \\ \cdot & a_2 & \cdot & \cdot \\ \cdot & \cdot & \cdot & \cdot \\ \cdot & \cdot & \cdot & a_N \end{pmatrix} \quad (22)$$



شکل ۶: آزمایش اشترن - گراخ .

## ۶ مثال : اسپین

شکل (۶) بطور شماتیک آزمایشی را نشان می دهد که در آن اتم های یک عنصر مثل نقره از درون یک میدان مغناطیسی که گرادیان آن در راستای  $z$  است عبور داده می شوند. این نوع آزمایش را آزمایش اشترن گراخ در راستای  $z$  می خوانیم و به طور اختصار این اندازه گیری یا آزمایش را با  $S_z$  نمایش می دهیم. این آزمایش ذرات را دو دسته می کند. می گوئیم اتم هایی که به جهت بالا منحرف می شوند در حالت  $|z+\rangle$  و اتم هایی که به طرف پایین منحرف می شوند در حالت  $|z-\rangle$  قرار گرفته اند. حال در آزمایشگاه می توان احتمالات زیر را بدست آورد:

$$P(z+, x+) = P(z-, x+) = \frac{1}{2}, \quad (23)$$

که از آن نتیجه می شود

$$|\langle z+ | x+ \rangle| = \frac{1}{\sqrt{2}}, \quad |\langle z- | x+ \rangle| = \frac{1}{\sqrt{2}}, \quad (24)$$

و در نتیجه

$$|x+\rangle = \frac{1}{\sqrt{2}} e^{i\alpha} |z+\rangle + \frac{1}{\sqrt{2}} e^{i\beta} |z-\rangle. \quad (25)$$

با بازتعریف حالت های  $|z+\rangle$  و  $|z-\rangle$  می توانیم فازهای فوق را از بین ببریم . بنابراین رابطه فوق به صورت زیر درمی آید:

$$|x+\rangle = \frac{1}{\sqrt{2}} |z+\rangle + \frac{1}{\sqrt{2}} |z-\rangle. \quad (26)$$

به طریق مشابه از روابط تجربی

$$P(z+, x-) = P(z-, x-) = \frac{1}{2}, \quad (27)$$

می توان نتیجه گرفت

$$|x-\rangle = \frac{1}{\sqrt{2}}e^{i\gamma}|z+\rangle + \frac{1}{\sqrt{2}}e^{i\delta}|z-\rangle. \quad (28)$$

فازهای فوق را دیگر نمی توان با بازتعریف حالت های  $|z\pm\rangle$  از بین برد. تنها یکی از آنها را می توان با بازتعریف  $|x-\rangle$  از بین برد و در نتیجه خواهیم داشت:

$$|x-\rangle = \frac{1}{\sqrt{2}}|z+\rangle + \frac{1}{\sqrt{2}}e^{i\delta}|z-\rangle. \quad (29)$$

در اینجا از رابطه تجربی  $P(x+, x-) = 0$  و یا  $\langle x+ | x-\rangle = 0$  استفاده می کنیم و بدست می آوریم:

$$|x-\rangle = \frac{1}{\sqrt{2}}|z+\rangle - \frac{1}{\sqrt{2}}|z-\rangle. \quad (30)$$

به همین ترتیب با استفاده از روابط تجربی مشابه برای آزمایش اشترن گراخ در راستای  $y$  می توان نوشت:

$$\begin{aligned} |y+\rangle &= \frac{1}{\sqrt{2}}|z+\rangle + \frac{1}{\sqrt{2}}e^{i\gamma}|z-\rangle, \\ |y-\rangle &= \frac{1}{\sqrt{2}}|z+\rangle + \frac{1}{\sqrt{2}}e^{i\delta}|z-\rangle. \end{aligned} \quad (31)$$

حال از رابطه  $\langle y+ | y-\rangle = 0$  بدست می آوریم  $e^{i\delta} = -e^{i\gamma}$ . آخرین چیزی که باید تعیین کنیم مقدار  $\gamma$  است. برای این کار از یک رابطه تجربی باقیمانده استفاده می کنیم و آن اینکه

$$P(x+, y+) = \frac{1}{2}. \quad (32)$$

این رابطه الزام می کند که

$$|\langle x+ | y+\rangle|^2 = \frac{1}{4}|(1 + e^{i\gamma})|^2 = \frac{1}{2} \quad (33)$$

که نتیجه می دهد  $\gamma = \pm i$ . بدون هیچ ارجحیت خاصی جواب  $i$  را انتخاب می کنیم. بنابراین خواهیم داشت:

$$\begin{aligned}
|y+\rangle &= \frac{1}{\sqrt{2}}|z+\rangle + \frac{1}{\sqrt{2}}i|z-\rangle, \\
|y-\rangle &= \frac{1}{\sqrt{2}}|z+\rangle - \frac{1}{\sqrt{2}}i|z-\rangle.
\end{aligned}
\tag{34}$$

هرگاه از نمایش صریح بردارها دریایه  $S_z$  استفاده کنیم روابط فوق به شکل زیر درمی آیند:

$$\begin{aligned}
|z+\rangle &= \begin{pmatrix} 1 \\ 0 \end{pmatrix} & |z-\rangle &= \begin{pmatrix} 0 \\ 1 \end{pmatrix} \\
|x+\rangle &= \frac{1}{\sqrt{2}} \begin{pmatrix} 1 \\ 1 \end{pmatrix} & |x-\rangle &= \frac{1}{\sqrt{2}} \begin{pmatrix} 1 \\ -1 \end{pmatrix} \\
|y+\rangle &= \frac{1}{\sqrt{2}} \begin{pmatrix} 1 \\ i \end{pmatrix} & |y-\rangle &= \frac{1}{\sqrt{2}} \begin{pmatrix} 1 \\ -i \end{pmatrix}.
\end{aligned}
\tag{35}$$

با الهام از فیزیک کلاسیک و نحوه برهم کنش یک میدان مغناطیسی نایکنواخت با ممان های مغناطیسی و هم چنین رابطه ممان مغناطیسی با گشتاورزاویه ای به همان شکلی که در مقدمه این فصل گفته شد، در آزمایش اشترن گراخ  $S_z$  ذراتی را که در حالت  $|z+\rangle$  قرار دارند چنین تفسیر می کنیم که مولفه گشتاورزاویه ای آنها در امتداد  $z$  برابر با  $\frac{\hbar}{2}$  است و ذراتی را که در حالت  $|z-\rangle$  قرار دارند چنین تفسیر می کنیم که مولفه گشتاورزاویه ای آنها در امتداد  $z$  برابر با  $-\frac{\hbar}{2}$  است که در آن  $\hbar$  ثابت پلانک و برابر با  $\frac{h}{2\pi}$  و است و  $6.627 \times 10^{-34} h$  ژول ثانیه است. در نتیجه می توانیم باتوجه به رابطه (21) عملگرهای  $S_x$ ،  $S_y$  و  $S_z$  را به شکل زیر بنویسیم :

$$\begin{aligned}
S_x &= \frac{\hbar}{2}(|x+\rangle\langle x+| - |x-\rangle\langle x-|) = \frac{\hbar}{2} \begin{pmatrix} 1 & 1 \\ 1 & 1 \end{pmatrix} \\
S_y &= \frac{\hbar}{2}(|y+\rangle\langle y+| - |y-\rangle\langle y-|) = \frac{\hbar}{2} \begin{pmatrix} 1 & -i \\ i & -1 \end{pmatrix} \\
S_z &= \frac{\hbar}{2}(|z+\rangle\langle z+| - |z-\rangle\langle z-|) = \frac{\hbar}{2} \begin{pmatrix} 1 & \\ & -1 \end{pmatrix}.
\end{aligned}
\tag{36}$$

بایک محاسبه ساده می توان نشان داد که روابط زیر بین این عملگرها برقرار هستند:

$$[S_x, S_y] = i\hbar S_z, \quad [S_y, S_z] = i\hbar S_x, \quad [S_z, S_x] = i\hbar S_y.
\tag{37}$$

این رابطه بسیار به رابطه ای است که بین مولفه های گشتاورزاویه ای در مکانیک کلاسیک وجود دارد با این تفاوت که در مکانیک کلاسیک کمیت های  $S_x, S_y, S_z$  عملگر نیستند و رابطه بین آنها نیز رابطه گروه پوآسون است و نه رابطه جابجایی.

## ۷ دینامیک کوانتومی

دینامیک کوانتومی را می توان با اتکا بر اصول ویافرض های بسیار بسیط و ساده ای بدست آورد. فرض کنید که بردار حالت یک دستگاه کوانتومی در لحظه  $t$  را با  $|\psi(t)\rangle$  نمایش دهیم. در اثر هر نوع برهم کنش این بردار حالت در لحظه  $t'$  عبارت خواهد بود از

$|\psi(t')\rangle$ . فرض اساسی دینامیک کوانتومی آن است که این بردار حالت جدید را می توان با یک عملگر خطی از بردار حالت قدیمی بدست آورد یعنی :

$$|\psi(t')\rangle = U(t', t)|\psi(t)\rangle. \quad (38)$$

از آنجا که هر دو بردار می بایست نرمالیزه باشند این شرط حکم می کند که عملگر  $U$  می بایست یک عملگر یکانی باشد. بنابراین

$$U(t', t)U(t', t)^\dagger = I. \quad (39)$$

هم چنین با استفاده از دو تحول پی در پی از زمان  $t$  تا  $t'$  و سپس از زمان  $t'$  تا  $t''$  بدست می آوریم:

$$U(t'', t)U(t', t) = U(t'', t'). \quad (40)$$

علاوه بر این واضح است که :

$$U(t, t) = I \quad (41)$$

هرگاه تحول فقط به اندازه زمان بی نهایت کوچکی مثل  $\epsilon$  انجام شود، می توان  $U(t + \epsilon, t)$  را برحسب  $\epsilon$  بسط داد و نوشت :

$$U(t + \epsilon, t) = I - i\epsilon H(t) + O(\epsilon^2) \approx e^{-i\epsilon H(t)} \quad (42)$$

یکانی بودن  $U$  الزام می کند که  $H$  هرمیتی باشد. حال با استفاده از رابطه (40) می توان عملگر تحول را برای هر بازه زمانی نوشت. خواهیم داشت:

$$U(t', t) \approx e^{-i\epsilon H(t+(N-1)\epsilon)} e^{-i\epsilon H(t+(N-2)\epsilon)} \dots e^{-i\epsilon H(t)} \quad (43)$$

و یا در حد  $\epsilon \rightarrow 0$  و  $N \rightarrow \infty$  با شرط  $N\epsilon = (t' - t)$  :

$$U(t', t) = \lim_{N \rightarrow \infty} \prod_{i=0}^{N-1} e^{-i\epsilon H(t+i\epsilon)} := T(e^{-i \int_t^{t'} H(\tau) d\tau}) \quad (44)$$

که در آن آخرین عبارت سمت راست عبارت نمایی مرتب شده نام دارد و به صورت حد طرف چپ تعریف می شود. مهمترین حالت خاص حالتی است که در آن  $H$  تابع زمان نباشد. در این صورت همه عبارت های نمایی باهم جابجایی شوند و می توان نماهای آنها را باهم جمع کرد و نوشت:

$$U(t', t) = e^{-i(t'-t)H}. \quad (45)$$

## ۸ حالت های خالص و حالت های مخلوط

تا کنون فرض کرده ایم که حالت دستگاه کوانتومی با یک بردار  $|\psi\rangle$  مشخص می شود. بنابراین اصول مکانیک کوانتومی این امر مستلزم آن است که اولاً ما از آخرین اندازه گیری ای که روی دستگاه کوانتومی انجام شده است و طی آن حالت دستگاه مشخص شده است مطلع هستیم و ثانیاً در طی این دستگاه کوانتومی از محیط خود منزوی باقیمانده است. برای دستگاه های واقعی هیچ کدام از این دو فرض صحیح نیستند. باریکه ای از اتم ها که از بخار ناشی از یک فیلامان گرم شده بوجود آمده اند و سپس بوسیله همسو کننده ها در یک راستا جمع شده اند یک دستگاه رایج کوانتومی است و نمی توانیم بگوییم که اتم های آن در یک حالت خاص هستند. هم چنین است باریکه ای از فوتون ها که از هیچ پولاویدی رد نشده اند و ما راجع به قطبش آنها چیزی نمی دانیم. در چنین شرایطی تنها می توانیم بگوییم که کسر  $p_i$  از اتم ها در حالت  $|\psi_i\rangle$  هستند. معمولاً این کسر ها را یا از یک اصول دیگر مثل اصول مکانیک کوانتومی بدست می آوریم. درغیاب هر گونه اطلاعات که یک حالت را بر دیگر حالت ها ترجیح دهد می توانیم با اطمینان قید کنیم که توزیع اتم ها روی حالات مختلف کاملاً یکنواخت است مثل وقتی که با قطبش یک باریکه از فوتون ها سروکار داریم و می گوییم که  $50^\circ$  درصد از آنها جهت قطبش  $x$  و  $50^\circ$  درصد آنها جهت قطبش  $y$  دارند. می خواهیم ببینیم که در چنین حالت هایی دستگاه کوانتومی را چگونه می بایست توصیف کنیم. فرض کنید که خاصیتی مثل خاصیت  $M$  را می خواهیم اندازه گیری کنیم. برای یک دستگاه مخلوط مطابق فوق متوسط خاصیت  $M$  به شکل زیر محاسبه خواهد شد:

$$\langle M \rangle = \sum_i p_i \langle \psi_i | M | \psi_i \rangle = \text{tr}(\rho M) \quad (46)$$

که در آن  $\rho$  عبارت است از:

$$\rho = \sum_i p_i |\psi_i\rangle \langle \psi_i| \quad (47)$$

و ماتریس چگالی دستگاه کوانتومی خوانده می شود. بنابراین حالت چنین دستگاهی بجای آنکه با یک بردار حالت مشخص شود با یک ماتریس چگالی مشخص می شود. این ماتریس چگالی در بردارنده تمام اطلاعاتی است که ما می توانیم از دستگاه کوانتومی کسب کنیم. نخست بهتر است که خواص ماتریس چگالی را بررسی کنیم. خواننده می تواند براحتی تحقیق کند که ماتریس چگالی خاصیت های زیر را دارد:

$$\begin{aligned} \text{tr}(\rho) &= 1 \\ \rho^\dagger &= \rho \\ \rho &\geq 0. \end{aligned} \quad (48)$$

می توان ماتریس چگالی  $\rho$  را در پایه ویژه بردارهای خودش نوشت. در این صورت خواهیم داشت:

$$\rho = \sum_{i=1}^N \lambda_i |\alpha_i\rangle \langle \alpha_i|, \quad (49)$$

که در آن  $N$  بعد فضای هیلبرت است. دقت کنید که شکل (47) یک تجزیه طیفی نیست و به همین دلیل بردارهای  $|\psi_i\rangle$  یک مجموعه متعامد تشکیل نمی دهند و تعداد آنها نیز هیچ ربطی به بعد ماتریس  $\rho$  ندارد، اما رابطه 49 تجزیه طیفی ماتریس



چگالی را بیان می کند و بردارهای  $|\alpha_i\rangle$  ویژه بردارهای ماتریس چگالی هستند و تعداد آنها نیز برابر با بعد ماتریس چگالی یا بعد فضای هیلبرت است. از تجزیه طیفی یک خاصیت دیگر را نیز می توان بدست آورد و آن اینکه :

$$\text{tr}(\rho^2) \equiv \sum_i \lambda_i^2 \leq 1, \quad (50)$$

که در آن از مثبت بودن  $\lambda_i$  ها و اینکه مجموع همه آنها برابر با یک است استفاده کرده ایم. هم چنین از تجزیه طیفی قضیه زیر را بدست می آوریم که اثبات آن ساده است :

قضیه : حالت  $\rho$  یک حالت خالص است اگر و فقط اگر  $\text{tr}(\rho^2) = 1$ .

تاکنون توانستیم متوسط خاصیت  $M$  را وقتی که دستگاه در حالت  $\rho$  قرار دارد بدست آوریم. حال می پرسیم در اندازه گیری خاصیت  $M$  احتمال اینکه مقدار  $m$  بدست بیاید چقدر است و بعد از اندازه گیری، دستگاه در چه حالتی است. برای آنکه احتمال اندازه گیری  $m$  را بدست آوریم به ترتیب زیر عمل می کنیم:

$$P(m) = \sum_i p_i \langle \psi_i | P_m | \psi_i \rangle = \text{tr}(P_m \rho) \quad (51)$$

که در آن از این موضوع استفاده کرده ایم که احتمال بدست آوردن مقدار  $m$  برای وقتی که دستگاه کوانتومی در حالت خالص  $|\psi\rangle$  است برابر است با  $\langle \psi | P_m | \psi \rangle$ . بالاخره می خواهیم بفهمیم که بعد از اندازه گیری خاصیت  $M$  و یافتن مقدار  $m$  دستگاه کوانتومی در چه حالتی است. پاسخ این امر ساده است. دستگاه کوانتومی با ماتریس چگالی  $P_m$  توصیف می شود. البته این درحالتی است که مقدار  $m$  را بدست آورده باشیم و با اندازه گیری خود این دسته از ذرات را ( به عنوان دستگاه های کوانتومی ) از دیگر ذرات جدا کرده باشیم. هرگاه چنین جداسازی ای انجام نداده باشیم حالت دستگاه بعد از اندازه گیری به صورت زیر خواهد بود:

$$\rho_1 := \sum_m q_m P_m \quad (52)$$

که در آن  $q_m$  احتمال این است که مقدار  $m$  بدست آمده باشد. با توجه به رابطه (51) که این احتمال را تعیین می کند می توان این رابطه را به شکل زیر بازنویسی کرد:

$$\rho_1 = \sum_m \text{tr}(P_m \rho) P_m. \quad (53)$$

از یک زاویه دیگر نیز می توان به ماتریس چگالی نگاه کرد. فرض کنید که دودره اسپین یک دوم داریم و این دودره درحالتی مثل حالت زیر قرار دارند:

$$|\psi\rangle_{AB} = a|+, +\rangle + b|+, -\rangle + c|-, +\rangle + d|-, -\rangle \quad (54)$$

می پرسیم که حالت ذره  $A$  چیست. در اینجا درست است که هر دو ذره در یک حالت مشخص قرار دارند ولی نمی توان به ذره  $A$  بردارحالت مشخصی نسبت داد. در این مورد و در تمامی موارد مشابه که دستگاه کوانتومی مورد نظر ما جزئی از یک دستگاه

بزرگتر است حالت آن با یک ماتریس چگالی مشخص می شود. برای اینکه این موضوع را به طور کلی مورد بحث قرار دهیم فرض کنید که دو دستگاه  $A$  و  $B$  در یک حالت کوانتومی مشخص  $|\psi\rangle_{AB}$  قرار دارند که بر حسب بردارهای پایه فضای هیلبرت سیستم  $A$  و سیستم  $B$  بسط آن به شکل زیر است:

$$|\psi\rangle_{AB} = \sum_{i,\mu} \psi_{i\mu} |i, \mu\rangle. \quad (55)$$

حال هر عملگر  $M_A$  روی دستگاه  $A$  چیزی نیست جز عملگری به شکل  $M \otimes I$ . در نتیجه خواهیم داشت:

$$\begin{aligned} \langle M \rangle_A &= \langle \psi | M \otimes I | \psi \rangle = tr_{AB}((M \otimes I) |\psi\rangle \langle \psi|) = tr_A(tr_B((M \otimes I) |\psi\rangle \langle \psi|)) \\ &= tr_A(M \rho_A) \end{aligned} \quad (56)$$

که در آن

$$\rho_A = tr_B(|\psi\rangle \langle \psi|) \quad (57)$$

ماتریس چگالی دستگاه  $A$  نامیده می شود. به این ترتیب هر عنصر ماتریسی روی دستگاه  $A$  را می توان به صورت  $tr(M\rho)$  نوشت که در آن  $\rho$  از رابطه بالا تعیین می شود و جانشین حالت کوانتومی دستگاه  $A$  است. به طریق مشابه ماتریس چگالی دستگاه  $B$  با رابطه  $\rho_B = tr_A(|\psi\rangle \langle \psi|)$  داده می شود. می توان فرم صریح تر ماتریس چگالی را نیز بدست آورد. با توجه به رابطه (55) خواهیم داشت:

$$\rho_A = \sum_{i,j} \rho_{ij} |i\rangle \langle j| \quad (58)$$

که در آن

$$(\rho_A)_{ij} = \sum_{\mu} \psi_{i\mu} \psi_{j\mu}^*, \quad (59)$$

و

$$\rho_B = \sum_{\mu,\nu} \rho_{\mu\nu} |\mu\rangle \langle \nu|, \quad (60)$$

که در آن

$$(\rho_B)_{\mu\nu} = \sum_i \psi_{i\mu} \psi_{i\nu}^*. \quad (61)$$

با توجه به این عبارت ها براحتی می توان خواص سه گانه ماتریس چگالی را تحقیق کرد یعنی این که  $\rho$  یک ماتریس هرمیتی مثبت با رد برابر با واحد است.

## ۱.۸ تجزیه اشمیت

فرض کنید که دستگاه مرکب  $A + B$  در یک حالت خالص  $|\psi\rangle_{AB}$  قرار دارد. در این صورت همواره می توان این حالت را به شکل زیر بازنویسی کرد:

$$|\psi\rangle_{AB} = \sum_i \lambda_i |\hat{i}, \hat{i}\rangle \quad (62)$$

که در آن  $\lambda_i$  ها اعداد مثبت و  $\{|\hat{i}\rangle\}$  و  $\{|\hat{i}\rangle\}$  به ترتیب مجموعه بردارهای متعامد یکه در فضای هیلبرت دستگاه های  $A$  و  $B$  هستند. این تجزیه را تجزیه اشمیت می خوانند. برای پیدا کردن این تجزیه به ترتیب زیر عمل می کنیم. برای فضای هیلبرت  $H_A$  پایه ای انتخاب می کنیم که در آن ماتریس  $\rho_A$  قطری باشد. این پایه را با  $\{|i\rangle\}$  نشان می دهیم. در نتیجه بردار حالت به شکل زیر نوشته می شود:

$$|\psi\rangle_{AB} = \sum_i |i\rangle |\phi_i\rangle \quad (63)$$

که در آن بردارهای  $\{|\phi_i\rangle\}$  بردارهایی نه الزاماً متعامد و یا یکه در فضای هیلبرت  $H_B$  هستند. حال دقت می کنیم که بنا بر تعریف :

$$\rho_A = tr_B(|\psi\rangle_{AB}\langle\psi|) = \sum_i |i\rangle\langle j| \langle\phi_i|\phi_j\rangle. \quad (64)$$

اما چون ماتریس چگالی  $\rho_A$  در پایه انتخاب شده قطری است پس بدست می آوریم که :

$$\langle\phi_i|\phi_j\rangle = \lambda_i^2 \delta_{ij} \quad (65)$$

با تعریف  $|\phi_i\rangle = \lambda_i |\hat{i}\rangle$  به تجزیه اشمیت یعنی رابطه (62) می رسم.

## ۲.۸ خالص سازی

فرض کنید که دستگاه  $A$  توسط یک ماتریس چگالی  $\rho$  توصیف می شود. آیا می توان دستگاهی مثل  $B$  و حالتی از دستگاه مرکب  $A + B$  مثل  $|\psi\rangle_{AB}$  چنان یافت که :

$$\rho = tr_B(|\psi\rangle_{AB}\langle\psi|) \quad (66)$$

باشد. اگر چنین حالتی پیدا کنیم حالت  $|\psi\rangle_{AB}$  را حالت خالص شده ماتریس چگالی  $\rho$  می خوانیم. برای اینکه خالص شده یک ماتریس چگالی  $\rho_A$  با ویژه مقدارهای  $p_i$  را پیدا کنیم به ترتیب زیر عمل می کنیم. دستگاه  $B$  را دستگاهی می گیریم که

بعد فضای هیلبرت آن یعنی  $H_B$  حداقل با بعد  $H_A$  یکی باشد. هرگاه بردارهای  $\{|i\rangle\}$  یک پایه متعامد برای دستگاه  $A$  باشند قرار می دهیم:

$$\psi_{AB} = \sum_i \sqrt{p_i} |i, \hat{i}\rangle \quad (67)$$

که در آن  $\{|\hat{i}\rangle\}$  یک مجموعه بردار متعامدیکه برای فضای  $H_B$  هستند. در این صورت  $|\psi\rangle_{AB}$  یک خالص سازی  $\rho_A$  است.

### ۳.۸ کره بلوخ

کلی ترین حالت یک ذره اسپین یک دوم و یا هرذره دیگری که فضای هیلبرت آن دو بعدی است با یک ماتریس چگالی دو در دو داده می شود. این ماتریس را با  $\rho$  نشان می دهیم. از آنجا که ماتریس یک و ماتریس های پاولی یک پایه برای فضای ماتریس های دو در دو تشکیل می دهند می توان این ماتریس را به شکل زیر نوشت:

$$\rho = \frac{1}{2}(r_0 I + \vec{r} \cdot \vec{\sigma}) = \frac{1}{2} \begin{pmatrix} r_0 + z & x - iy \\ x + iy & r_0 - z \end{pmatrix} \quad (68)$$

که در آن  $\vec{\sigma} = (\sigma_1, \sigma_2, \sigma_3)$ ، ماتریس های پاولی هستند و ضریب  $1/2$  برای راحتی بیرون کشیده شده است.

حال دقت می کنیم که:

الف:  $\rho$  هرمیتی است. بنابراین ضرایب  $r_0, \vec{r}$  حقیقی هستند.

ب:  $tr(\rho) = 1$  بنابراین  $r_0 = 1$ .

ج:  $\rho \geq 0$ . برای تامین این شرط می بایست ویژه مقدهای  $\rho$  را حساب کنیم. یک محاسبه ساده نشان می دهد که ویژه مقدهای  $\rho$  عبارتند از:

$$\lambda_{1,2} = \frac{1}{2}(1 \pm r) \quad (69)$$

که در آن  $r$  اندازه بردار  $\vec{r}$  است.

بنابراین برای مثبت بودن کافی است که طول بردار  $\vec{r}$  از یک کمتر باشد: یعنی  $r \leq 1$ . به این ترتیب بین هر ماتریس چگالی و یک نقطه از یک کره به شعاع واحد یک تناظر یک به یک برقرار می شود. این کره بلوخ نام دارد که در شکل زیر نشان داده شده است. نقاط روی سطح کره بلوخ نقاطی هستند که در آنها  $r = 1$  و بنابراین ویژه مقادیر  $\rho$  برابر با یک و صفر هستند. در نتیجه این نقاط متناظر با حالت های خالص هستند. در واقع براحتی می توان نشان داد که هرگاه  $r = 1$  باشد یعنی  $r$  برابر با یک برداریکه  $n$  باشد آنگاه

$$\rho \equiv \frac{1}{2}(I + n \cdot \sigma) = |n\rangle\langle n| \quad (70)$$

که در آن  $|n\rangle$  حالت یک ذره با اسپین درجهت بردار یک  $n$  است. از طرف دیگر مرکز کره یعنی  $r = 0$  متناظر با حالت کاملاً مخلوط  $\rho = \frac{1}{2}I$  است. هرچه از مرکز کره به طرف مرز پیش برویم به درجه خلوص حالت ها اضافه می شود. می دانیم که یک حالت مخلوط را می توان به صورت مخلوطی از حالت های خالص در نظر گرفت. چگونه می توان یک حالت مخلوط برای یک ذره اسپین یک دوم را تجزیه کرد؟ این تجزیه چگونه روی کره بلوخ نشان داده می شود؟ پاسخ این سوال ساده است. فرض کنید که یک حالت مخلوط متناظر با بردار  $r$  روی کره بلوخ داده شده است. می خواهیم این حالت را به صورت مجموع دو حالت خالص تجزیه کنیم. برای این کار از نوک بردار  $r$  و تری از کره را رسم می کنیم که سطح کره را در دو نقطه  $n_1$  و  $n_2$  قطع کند. هرگاه طول دو پاره خط نشان داده شده در شکل را با  $l_1$  و  $l_2$  نشان دهیم آنگاه یک محاسبه ساده نشان می دهد که می توان حالت مخلوط  $\rho = \frac{1}{2}(I + r \cdot \sigma)$  را به شکل زیر تجزیه کرد:

$$\rho = p_1 |n_1\rangle\langle n_1| + p_2 |n_2\rangle\langle n_2| \quad (71)$$

که در آن  $p_1 = \frac{l_1}{l_1+l_2}$  و  $p_2 = \frac{l_2}{l_1+l_2}$ . از آنجا که وتر مربوطه را به بی نهایت طریق می توان رسم کرد، پس بی نهایت تجزیه دوتایی برای حالت مخلوط وجود دارد. آیا تجزیه های بیش از دوتایی هم وجود دارد؟ پاسخ این سوال هم مثبت است. فرض کنید که نقاط  $n_1, n_2, \dots, n_N$  روی سطح کره داده شده اند. حال ضرایب  $p_1, p_2, \dots, p_N$  را چنان تعیین می کنیم که شرط زیر تحقق یابد:

$$\sum_{i=1}^N p_i n_i = r \quad (72)$$

در این صورت می توان نوشت:

$$\begin{aligned} \rho &= \frac{1}{2}(I + r \cdot \sigma) = \sum_{i=1}^N p_i \frac{1}{2}(I + n_i \cdot \sigma) \\ &= \sum_{i=1}^N p_i |n_i\rangle\langle n_i| \end{aligned} \quad (73)$$

به این ترتیب حالت مخلوط  $\rho$  را می توان به بی نهایت طریق به صورت مجموعی از حالت های خالص و یا حتی به صورت انتگرالی از حالت های خالص تجزیه کرد که در حالت اخیر خواهیم نوشت:

$$\rho = \int d\phi d \cos \theta p(\theta, \phi) |n(\theta, \phi)\rangle\langle n(\theta, \phi)| \quad (74)$$

با این شرط که  $\int d\phi d \cos \theta p(\theta, \phi) = 1$ .

## ۹ تمرین ها:

۱ - تشابه دو حالت کوانتومی  $\rho$  و  $\sigma$  به صورت زیر تعریف می شود:

$$F(\rho, \sigma) = \sqrt{\text{tr}(\sigma^{1/2} \rho \sigma^{1/2})}. \quad (75)$$

الف: تشابه دو حالت کیوبیتی  $\rho$  و  $\sigma$  را که به ترتیب متناظر با بردارهای  $r$  و  $s$  هستند محاسبه کنید.

ب: نشان دهید که اگر  $\rho = \rho_1 \otimes \rho_2$  و  $\sigma = \sigma_1 \otimes \sigma_2$ ، آنگاه

$$F(\rho, \sigma) = F(\rho_1, \sigma_1)F(\rho_2, \sigma_2). \quad (76)$$

۲ - حالت  $|\psi\rangle = \cos\theta|00\rangle + \sin\theta \cos\phi|01\rangle + \sin\theta \sin\phi|11\rangle$  بین آلیس و باب به اشتراک گذاشته شده است. ماتریس چگالی آلیس و باب را بدست آورید. تجزیه اشمیت این حالت را بدست آورید.

۳ - حالت  $|\psi\rangle = \cos\theta|00\rangle + \sin\theta|11\rangle$  که در آن  $\rho = (1-x)\frac{I}{2} + x|\psi\rangle\langle\psi|$  بین آلیس و باب به اشتراک گذاشته شده است. ماتریس چگالی کیوبیت هایی که در دست آلیس و باب هستند را محاسبه کنید. ویژه مقدرهای این دو ماتریس را حساب کنید. یک خالص سازی از حالت  $\rho$  را بدست آورید.

۴ - نشان دهید که یک حالت  $\rho$  خالص است اگر و فقط اگر  $\text{tr}(\rho^2) = 1$  باشد.